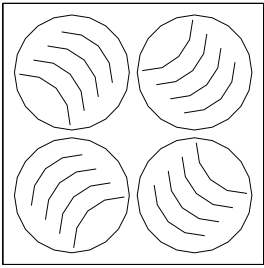


Die **PLAY-Luftdurchlässe** liefern in allen Konfigurationen eine gleichmäßige Luftströmung im ganzen Querschnitt des Durchgangs und führen dabei zu einer Luftströmung mit Coanda-Effekt und einer hohen Induktion, was die Temperaturschichtung gering hält. Diese Luftdurchlässe lassen eine 60-prozentige Schwankung der Luftmenge bei gleichbleibender Luftlinienstabilität zu.

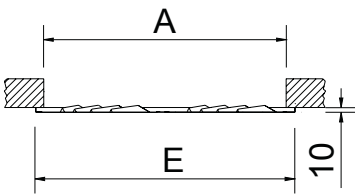
Das in Zusammenarbeit mit **Benedito DESIGN** entwickelte Originalkonzept der PLAY-Luftdurchlässe stellt eine innovative technische Lösung für die heutige Architektur sowie ein avantgardistisches Luftdurchlassdesign dar.

Produkt als gewerbliches Modell geschützt.

PLAY - S



	E	A
600	595	576
625	620	601

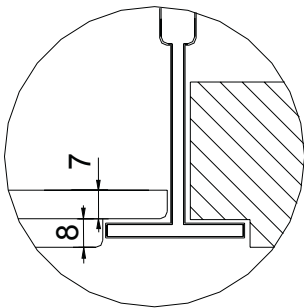
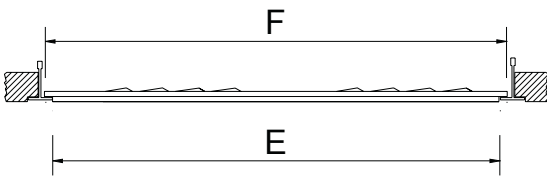


EINTEILUNG

PLAY-S Luftdurchlass mit quadratischer Platte mit vier Durchlassmodulen.

PLAY-ST Luftdurchlass mit abgestufter quadratischer Platte mit vier Durchlassmodulen.

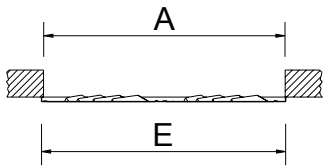
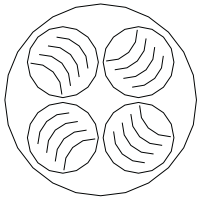
/ T /



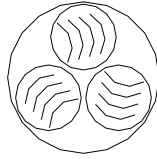
PLAY-S / T /

	E	F
600	572	593
625	602	623

PLAY-C-825



PLAY-C-625



	E	A
625	625	601
825	825	801

PLAY-C Luftdurchlass mit runder Platte mit je nach Durchmesser drei oder vier Durchlassmodulen.

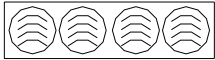
PLAY-R Luftdurchlass mit rechteckiger Platte mit je nach Größe mehreren Durchlassmodulen.

PLAY-RT Luftdurchlass mit abgestufter rechteckiger Platte mit je nach Größe mehreren Durchlassmodulen.

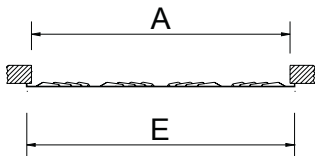
PLAY-R 1000x300
PLAY-R 1000x310



PLAY-R 1200x300
PLAY-R 1250x310



	E	A	E'	A'
1000 300	1000	981	295	276
1000 310	1000	981	308	289
1200 300	1195	1176	295	276
1250 310	1245	1226	308	289

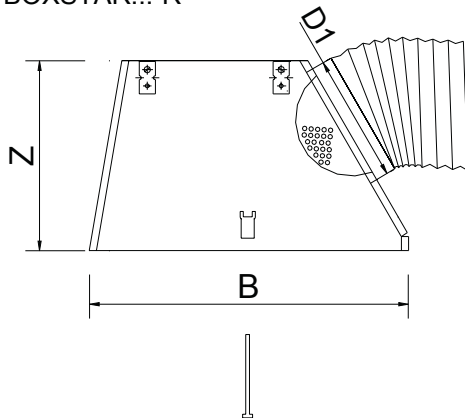


MATERIAL

Durchlass aus verzinktem Stahl mit Polyamidlagern.

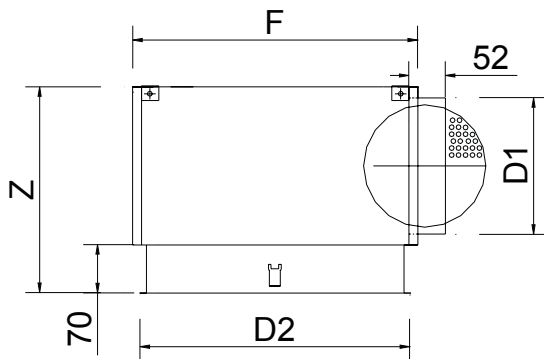
Alle Luftdurchlässe sind mit einer an der Rückseite angebrachtem Dichtungsband ausgestattet, wodurch auf dem ganzen Umfang eine fugendichte Versiegelung mit dem Anschlusskasten oder der Decke erzielt wird.

BOXSTAR...-R



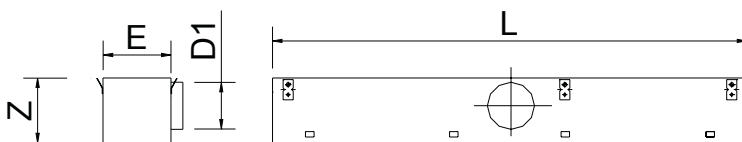
	B	Z	Y	D1
600	590	350	375	248
625	615	350	375	248

PLXOC ... - R



	D2	F	Z	D1
625	620	640	350	248
825	820	840	415	313

PLXOR... - R



	L (mm)	Z	E	D1
1000 300	990	324	270	248
1000 310	990	324	285	248
1200 300	1190	324	270	248
1250 310	1240	324	285	248

ZUBEHÖR

BOXSTAR Anschlusskasten mit seitlichem, rundem Anschlussstutzen für PLAY-S....- Luftdurchlässe. Aus verzinktem Stahl.

PLXOC Anschlusskasten mit seitlichem, rundem Anschlussstutzen für PLAY-C- Luftdurchlässe. Aus verzinktem Stahl.

PLXOR Anschlusskasten mit seitlichem, rundem Anschlussstutzen für PLAY-R- Luftdurchlässe. Aus verzinktem Stahl.

...-R Anschlusskasten mit Lochblechdrossel im Anschlussstutzen.

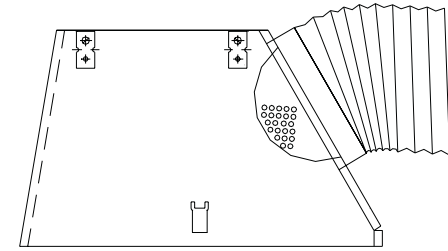
.../SI Anschlusskasten mit oben liegendem, rundem Anschlussstutzen.

.../AIS/ Anschlusskasten, wärme- und schalldämmend durch geschäumte Isolierplatten mit einem Wärmeleitfähigkeitskoeffizienten von 0,04 W/mk. Dieser Schaum entspricht folgenden Brandverhaltensrichtlinien:
 UNE 23-727 M2
 NFP 92-501 M2
 DIN 4102 M2

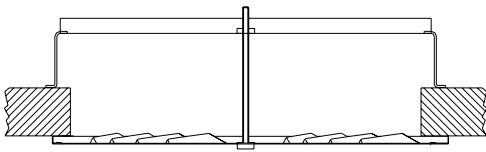
PMXO Montagebrücke aus verzinktem Stahl.

BEFESTIGUNGSSYSTEME

(1)



(2)



(1) Befestigung des Luftdurchlasses am Anschlusskasten durch eine Mittelschraube.

(2) Befestigung des Luftdurchlasses mittels Montagebügel und Mittelschraube.

AUSFÜHRUNGEN

R9010 RAL 9010 weiß lackiert.

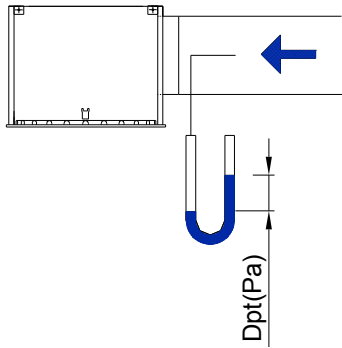
M9016 Weiss lackiert, ähnlich wie RAL 9016.

RAL... Lackiert in anderen RAL-Farben nach Wahl.

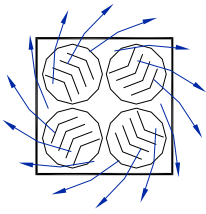
RAL..A / RAL..B Lackiert in anderen RAL-Farben.

RAL A bestimmt die Farbe der Frontplatte und RAL B die Farbe der Durchlassmodule.

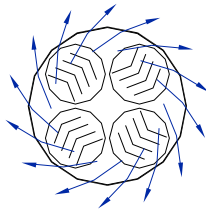
PLAY SERIES



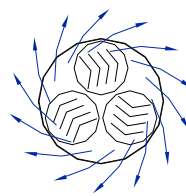
PLAY-S 600
PLAY-S 625



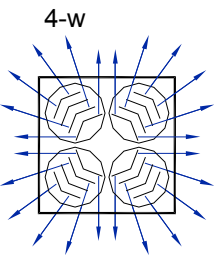
PLAY-C 825



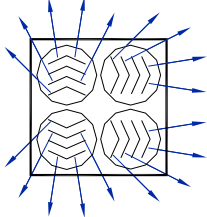
PLAY-C 625



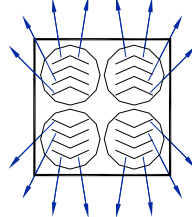
PLAY-S 600
PLAY-S 625



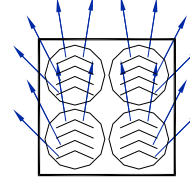
3-w



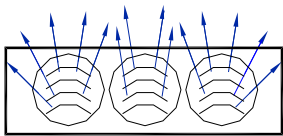
2-w



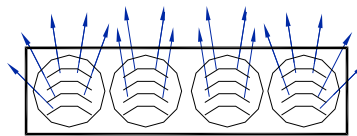
1-w



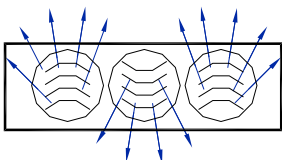
PLAY-R 1000 300
PLAY-R 1000 310
1-w



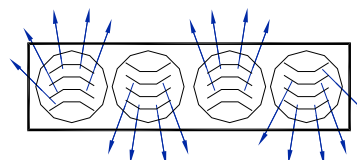
PLAY-R 1200 300
PLAY-R 1250 310
1-w



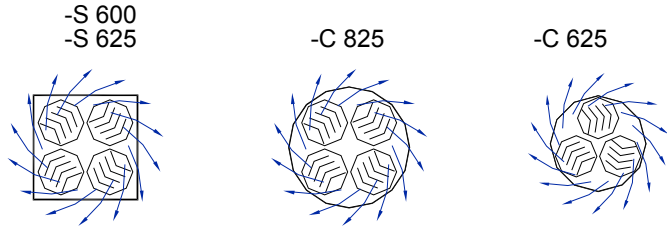
2-w



2-w



PLAY SERIES



FREIE GESCHWINDIGKEIT, DRUCKVERLUST, SCHALLPEGEL UND WURFWEITE MIT DECKENEFFEKT.

PLAY-S+BOXSTAR
PLAY-R+PLXOC

EMPFOHLENE GESCHWINDIGKEIT.

PLAY	Vmin m/s	Vmax m/s
-S 600	2,5	4,7
-S 625	2,5	4,7
-C 625	2,5	4,9
-C 825	2,5	4,7

FREIER QUERSCHNITTDES AUSLASSES (m2).

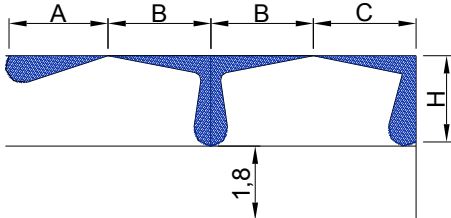
PLAY	Afree m2	Qmin. m3/h	Qmax. m3/h
-S 600	0,04	360	680
-S 625	0,04	360	680
-C 625	0,03	270	530
-C 825	0,04	360	680

KORREKTUR-FAKTOR FÜR DPT und Lwa1.

...-S+BOXSTAR-R ...-R+PLXOC-R		100%	50%	10%
		Open	Open	Open
-S 600	Dpt (Kp)	1	1,5	2,3
	Lwa1 (Kf)	+0,8	+1,2	+1,5
-S 625	Dpt (Kp)	1	1,5	2,3
	Lwa1 (Kf)	+0,9	+1,2	+1,5
-C 625	Dpt (Kp)	1	1	1,4
	Lwa1 (Kf)	+0,8	+0,7	+1,2
-C 800	Dpt (Kp)	1	1,5	2,3
	Lwa1 (Kf)	+0,9	+1	+0,8

$$Dpt1 = Kp \times Dpt$$

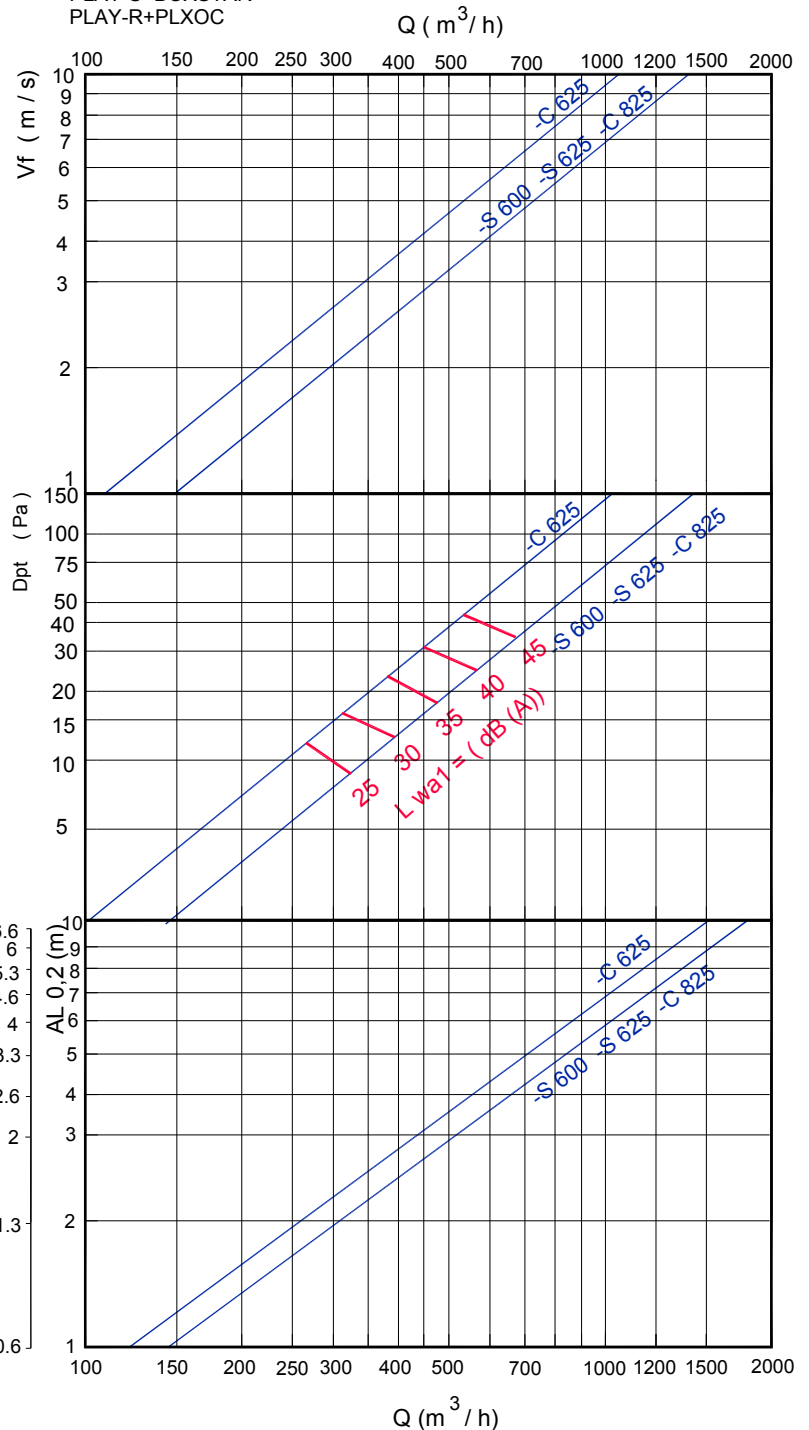
$$Lwa = Lwa1 + Kf$$



$$AL_{0.2} = A$$

$$AL_{0.2} = B+H$$

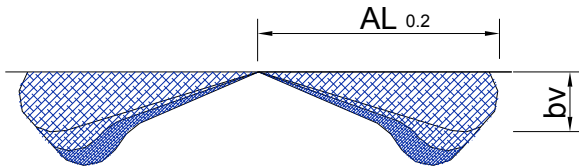
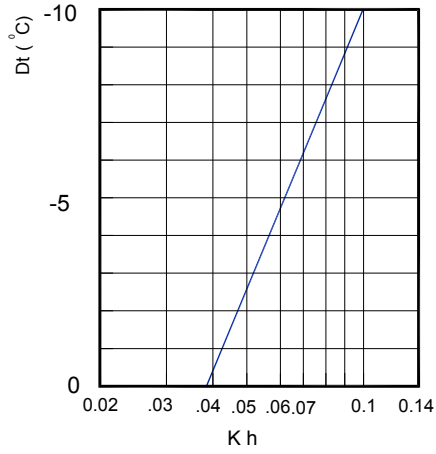
$$AL_{0.2} = C+H$$



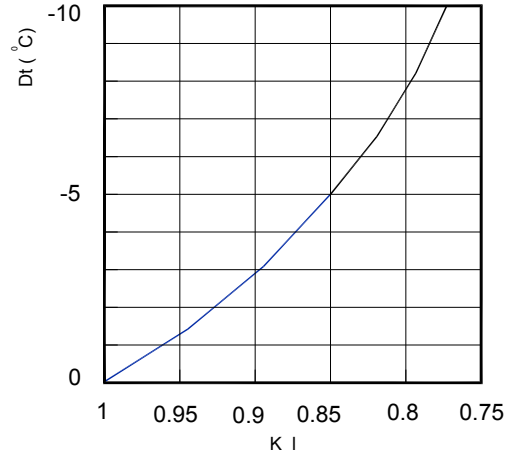
Note: In MadelMedia Spektrum des oktavenbands in Hz.

PLAY SERIES

KORREKTUR-FAKTOR FÜR VERTIKALE DIFFUSION (bv) FÜR DT(-).
 Kh = Korrektur-faktor für Vertikale Diffusion.



KORREKTUR-FAKTOR FÜR WURFWEITE (L0,2) DT (-).
 Kl = Korrektur-faktor für Wurfweite.

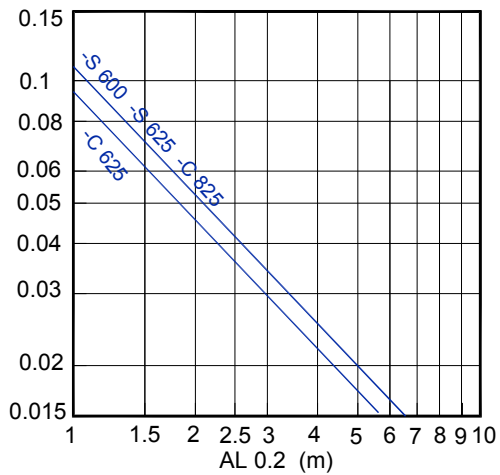


$$bv = Kh \times AL_{0.2}$$

$$AL'_{0.2} (Dt < 0) = Kl \times AL_{0.2}$$

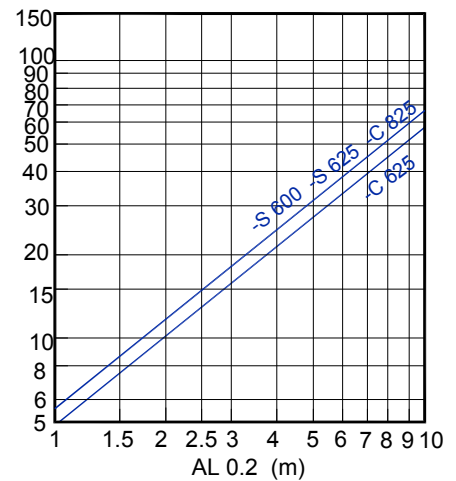
TEMPERATUR-VERHÄLTNIS.

$$\frac{Dt_l}{Dt_z} = \frac{t_{\text{lokal}} - t_x}{t_{\text{lokal}} - t_{\text{impuls}}}$$



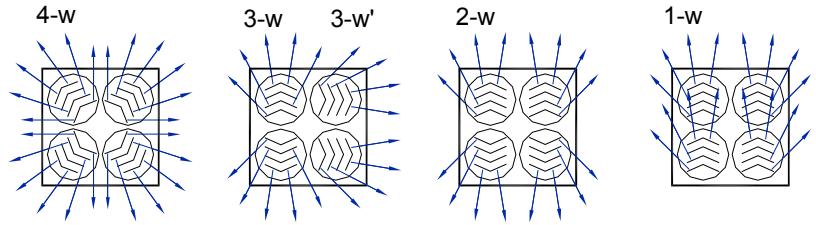
INDUKTION-VERHÄLTNIS.

$$i = \frac{Q_r}{Q_0} = \frac{Q_{\text{total in } x}}{Q_{\text{impuls}}}$$



PLAY SERIES

-S 600
-S 625



EMPFOHLENE GESCHWINDIGKEIT.

PLAY	Vmin m/s	Vmax m/s
-S 600 -S 625	2,5	3,5

FREIER QUERSCHNITTDDES AUSLASSES (m2).

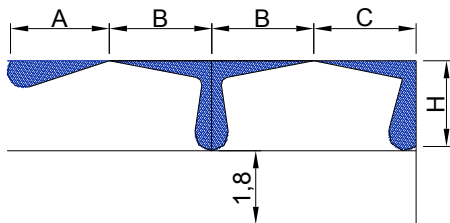
PLAY	Afree m2	Qmin. m3/h	Qmax. m3/h
-S 600 -S 625	0,04	360	504

KORREKTUR-FAKTOR FÜR Dpt und Lwa1.

BOXSTAR-R		100% Open	50% Open	10% Open
		-S 600	Dpt (Kp)	1
-S 625	Lwa1 (Kf)	+0,8	+1,7	+1,7

$$Dpt1 = Kp \times Dpt$$

$$Lwa = Lwa1 + Kf$$



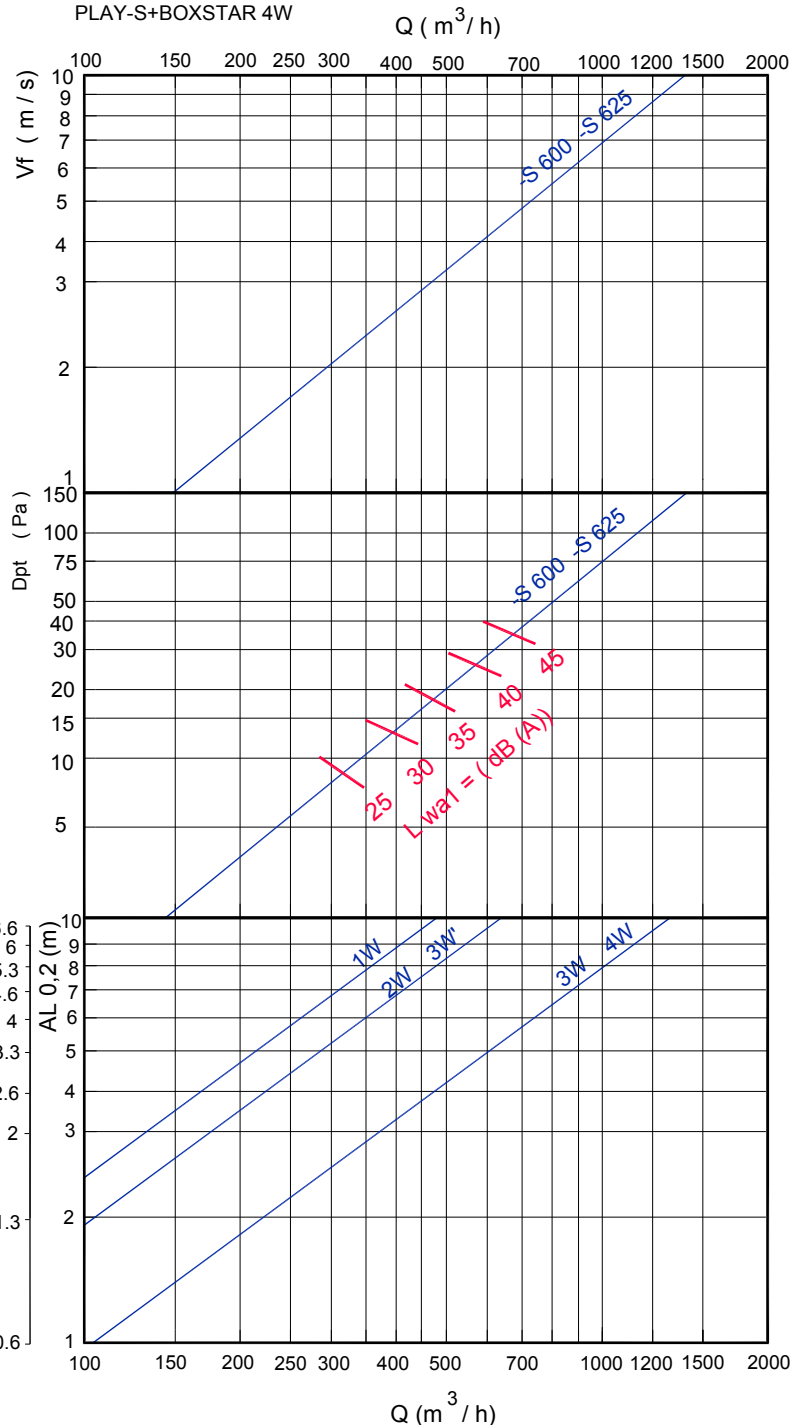
$$AL_{0,2} = A$$

$$AL_{0,2} = B+H$$

$$AL_{0,2} = C+H$$

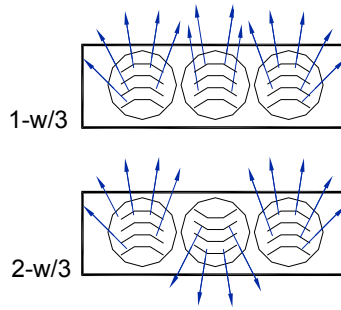
FREIE GESCHWINDIGKEIT, DRUCKVERLUST, SCHALLPEGEL UND WURFWEITE MIT DECKENEFFEKT.

PLAY-S+BOXSTAR 4W

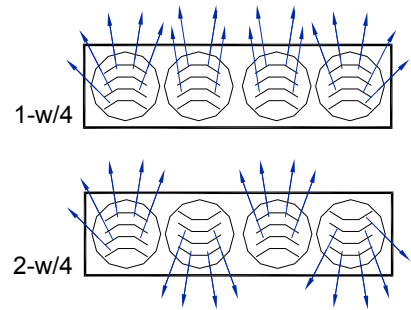


Note: In MadelMedia Spektrum des oktavenbands in Hz.

PLAY-R 1000x300
PLAY-R 1000x310



PLAY-R 1200x300
PLAY-R 1200x310



EMPFOHLENE GESCHWINDIGKEIT.

PLAY	Vmin m/s	Vmax m/s
-R 1000x300 -R 1000x310	2,5	3,5
-R 1200x300 -R 1200x310	2,5	3,5

FREIER QUERSCHNITTDDES AUSLASSES (m2).

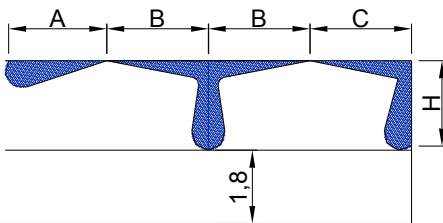
PLAY	Afree m2	Qmin. m3/h	Qmax. m3/h
-R 1000x300 -R 1000x310	0,03	270	378
-R 1200x300 -R 1200x310	0,04	360	504

KORREKTUR-FAKTOR FÜR Dpt und Lwa1.

PLXOR-R	100% Open			50% Open			10% Open		
	Dpt (Kp)	Lwa1 (Kf)		Dpt (Kp)	Lwa1 (Kf)		Dpt (Kp)	Lwa1 (Kf)	
-R 1000x300	1			1			1,4		
-R 1000x310		+0,7			+1,7			+2,5	
-R 1200x300	1			1,5			2,3		
-R 1200x310		+0,7			+1,7			+2,4	

$Dpt1 = Kp \times Dpt$

$Lwa = Lwa1 + Kf$



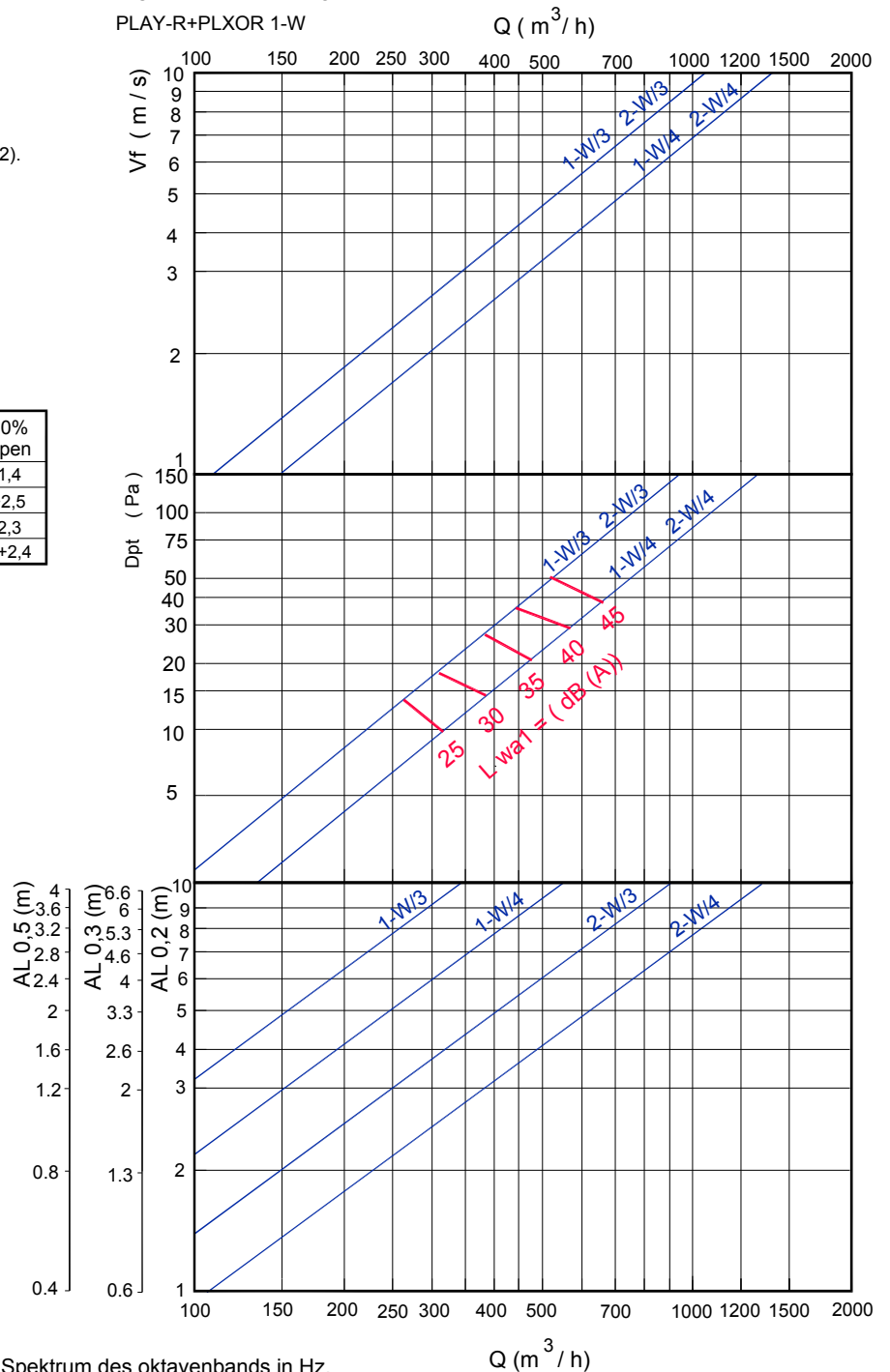
$AL_{0.2} = A$

$AL_{0.2} = B+H$

$AL_{0.2} = C+H$

FREIE GESCHWINDIGKEIT, DRUCKVERLUST, SCHALLPEGEL UND WURFWEITE MIT DECKENEFFEKT.

PLAY-R+PLXOR 1-W



Note: In MadelMedia Spektrum des oktavbands in Hz.

$Q (m^3 / h)$